

전력계통의 기준운전전압 결정 알고리즘에 관한 연구 A STUDY FOR DETERMINATION ALGORITHM OF REFERENCE VOLTAGE IN THE OPERATING CONDITION OF POWER SYSTEM

卷之三

고 력 대 학 교

四百零一

고 력 대 학 교

1. 서 론

본 연구에서 다른 고자 아는 기준 운전전압이 탄
압적적인 계통운용을 이루어 나가기 위하여 도입
하고자 아는 최적운용상태의 하나로서, 전압-무
효전력 차이에 있어서의 이론 바운전목표 상태라
고도 볼 수 있는 것이다.

본 연구에서는, 이의 결정을 위하여 계산기의
기억용량, 계산속도, 수렴성의 측면에서 유효한
새로운 알고리즘을 개발하여 보고하는 바이다.

2. 是

(1) 기본 방정식

기준운전전압 결정을 위하여 다루고자 하는
최적화 문제를 일반적인 식으로 나타내어 보면
다음과 같다.

Minimize $f(u, x)$

$$s, t, \quad g(u, x) = 0 \quad (1)$$

$$h(1-x) > 0$$

단 $f(u, x)$: 계통 속 시에 관학 시 (목적 학습)

8(11-12): 西漢 朝 韓王

$h(u, v)$: 경로 위의 전화번호

11. 모후 철령 제언별수

한국서적총람

(2) 벼수 미 부드호 제야종 거의 부드

	제어 변수	상태 변수
조류 계산문제	<p>제어요소: 밤전기 보선의 전압</p> <p>고정요소: 조상설비</p>	<p>밤전기 모선 의 무료전력,</p> <p>부하보선의 전압</p>

	제어 변수	상태 변수
최적화 문제	모든 모선의 전압	모든 모선의 무효 전력
부등호 계약 조건	단순 구속 조건	합수구속 조건
구속 조건의 처리 방법	한계치 고정	페널티 합수 적용

(3) 초기치 결정

식 (1)을 풀기 위하여 먼저 동호제약조건을
만족하는 해를 초기치로 삼는다.

$g(u, x) = 0$ 를 직각좌표법으로 표현하여 Δx , Δu 에 대해 템일릭 전개시키면, 3차항 이상은 존재하지 않으므로

$$\begin{bmatrix} \Delta P \\ \Delta Q \\ \Delta V^2 \end{bmatrix} = \begin{bmatrix} J_1 & J_2 \\ J_3 & J_4 \\ J_5 & J_6 \end{bmatrix} \begin{bmatrix} \Delta e \\ \Delta f \end{bmatrix} + \begin{bmatrix} L_1 & L_2 \\ L_3 & L_4 \\ L_5 & L_6 \end{bmatrix} \begin{bmatrix} \Delta e \\ \Delta f \end{bmatrix} \quad (2)$$

卷之四

$$\begin{aligned} \text{이를 아래와 같이 두 부분으로 분합하면} \\ \left[\begin{array}{c} \Delta P \\ \Delta Q \end{array} \right] &= \left[\begin{array}{c} J_2 \\ J_3 \end{array} \right] \left[\begin{array}{c} \Delta f \\ \Delta e \end{array} \right] \quad (3) \\ \left[\begin{array}{c} \Delta P \\ \Delta Q \\ \Delta e \end{array} \right] &= \left[\begin{array}{c} J_2 \\ J_3 \\ - \end{array} \right] \left[\begin{array}{c} \Delta f \\ \Delta e \end{array} \right] \end{aligned}$$

三

11

$$\begin{aligned} [\Delta P] &= [\Delta p] - [J_1][\Delta e] - [L_1 L_2][\Delta e \Delta f] \\ [\Delta Q] &= [\Delta q] - [J_4][\Delta f] - [L_3 L_4][\Delta e \Delta f] \\ &\quad - [d][\Delta e] \\ [\Delta |v|^2] &= [\Delta |v|^2] - [J_5][\Delta f] - [L_5 L_6][\Delta e \Delta f] \\ \begin{cases} L_1 & L_2 \\ L_3 & L_4 \end{cases} &= \begin{cases} (\Delta e S_1 + \Delta f S_3) & (\Delta e S_2 + \Delta f S_4) \\ (\Delta e S_5 + \Delta f S_7) & (\Delta e S_6 + \Delta f S_8) \\ (\Delta e S_9 + \Delta f S_{11}) & (\Delta e S_{10} + \Delta f S_{12}) \end{cases} \end{aligned}$$

$$[d_1] = [J_3] - [J_2]$$

이 방법에서 ΔP 와 ΔQ 는 먼저 주어진 Δe , Δf ,
G, B 값으로 계산되고, 새로운 Δe 와 Δf 는 식

(3) 을 $[I][D][U]$ 는 할법에 의해 반복 계산된다.

(4) 확대 목적함수

초기치의 결과 중 한계치를 벗어난 상태변수가 있으면, 여기에 페널티함수를 적용 시켜서 다음과 같이 확대 목적함수 $\hat{f}(u, x)$ 를 만든다.

$$\hat{f}(u, x) = f(u, x) + \mu_g^* g(u, x)^2 + \mu_h^* h(u, x)^2$$

$$= \sum_i \Delta P_i + \sum_j \frac{\mu_g}{\nu} (\Delta V_i)^2 + \sum_k \frac{\mu_h}{\nu} (\Delta P_k)^2 + \sum_l \frac{\mu_h}{\nu} (\Delta Q_j)^2 \quad (4)$$

단, ΔV : 부아모션 한계치를 벗어난 전압편차

ΔP : 각 모션 지정값과의 유효전력 편차

ΔQ : 부아모션 지정값과의 무효전력편차

μ : 페널티 상수

$i \in$ 모든 모션

$j \in$ 부아 모션

(5) 확대 목적함수의 최적화

확대 목적함수 $\hat{f}(u, x)$ 를 Δx 에 대하여 때 일락 연계시킨 후, 고차항을 무시한 2차식의 형

태를 $q(u, x)$ 라 하면

$$q(u, x) = \hat{f}(u, x) + \frac{1}{2} \hat{f}'(u, x) * (\Delta u \Delta x)^t \quad (5)$$

$$+ 1/2 * (\Delta u \Delta x) * H(u, x) * (\Delta u \Delta x)^t$$

로 되고, 이에 최소화 필요조건 $\nabla q(u, x) = 0$ 를 적용 시켜 보면 다음과 같이 나타나게 된다.

$$\begin{pmatrix} \frac{\partial \hat{f}}{\partial e} \\ \frac{\partial \hat{f}}{\partial f} \end{pmatrix} = - \begin{pmatrix} \frac{\partial^2 \hat{f}}{\partial e \partial e} & \frac{\partial^2 \hat{f}}{\partial e \partial f} \\ \frac{\partial^2 \hat{f}}{\partial f \partial e} & \frac{\partial^2 \hat{f}}{\partial f \partial f} \end{pmatrix} \begin{pmatrix} \Delta e \\ \Delta f \end{pmatrix} \quad (6)$$

식 (6)에서 Hessian의 모든 요소는, 조류 계산의 결과에서 주어지는 값으로 결정되기 때문에 결국 상수가 되어, Δe , Δf 를 Gauss 소거법에 의해 풀어쓰며 최적인 전압분포를 결정하게 된다.

(6) 흐름 도

본 알고리즘에 관한 흐름도는 그림 2-1과 같이 구성되어 있다.

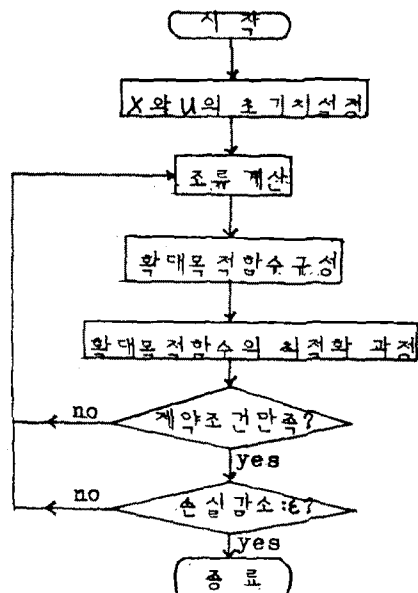
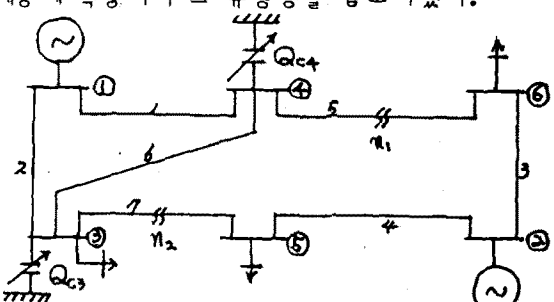


그림 2-1 본 알고리즘의 흐름도

3. 적용 예

이상의 내용을 그림 3-1의 Ward-Hale 6모션 계통에 적용 시켜 그 유용성을 검토하였다.



①~⑥: 모션번호 n_1, n_2 : 부아시 전압조정기
1~7: 선로번호 Q_{C1}, Q_{C2} : 정지형 조상설비

그림 3-1 Ward-Hale 계통

이 예로서, 모델계통에서의 운전한계치는 다음과 같이 놓고, 전장의 방법에 따라 최적해를 구해 보았다.

$$0.95 \leq |E_i| \leq 1.10$$

$$0.90 \leq |E_i| \leq 1.20$$

$$0.95 \leq |E_i| \leq 1.05 \quad i = 3, \dots, 6$$

$$0.00 \leq Q_i \leq 0.30$$

$$-0.20 \leq Q_i \leq 0.05$$

그림 3-2는 이때의 최적해 추정과정을 나타내고 있다.

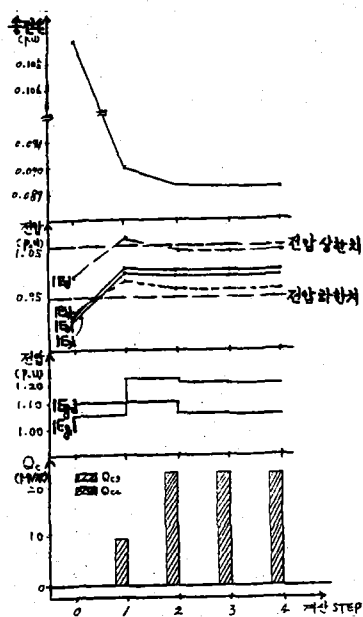


그림 3-2 최적 해 수렴 과정

그림 3-2에서 알 수 있듯이 어용 전압법으로부터 벗어나 있던 모선 3, 4, 5의 전압은 2회의 반복 계산으로 거의 최적점 가까이 수렴시키고 있으며, 이때의 손실감소율은 15.6%에 달하고 있다.

다음으로, IEEE -14 모선 계통에 적용시켜 본 결과를 그림 3-3에 나타내었다.

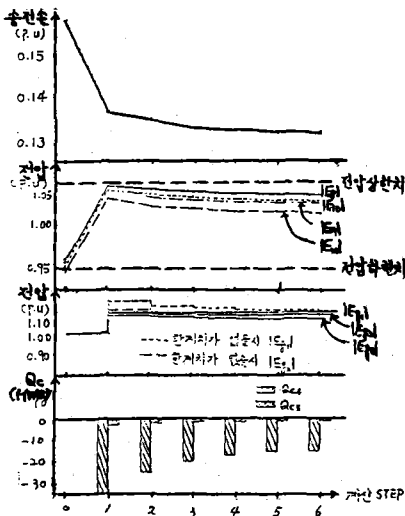


그림 3-3 최적 해 수렴 과정

그림 3-3에서도 6모선 모델계통과 마찬가지로 2회의 반복 계산으로 전압과 손실 감소를 거의 최적점 가까이 수렴시키고 있음을 알 수 있다.

4. 결 론

본 연구에서 개발된 앤고리즘을 몇 가지 모델계통에 적용해 본 결과, 다음과 같은 결론을 얻을 수 있었다.

1) 본 앤고리즘을 사용해서, 주어진 계통 운용 조건에서 손실을 최소화 할 수 있는 최적전압 분포를 결정할 수 있다.

2) 본 앤고리즘에서는, 완전한 테일러전개로 인한 단 1회의 Jacobian 행렬 계산, Jacobian 행렬 재분할에 의한 계수 행렬의 축소, 소행렬 Hessian (sparse Hessian matrix)에 대한 Gauss 소거법의 적용 등으로 인하여 기억 용량과 계산 시간을 단축 시킬 수 있었다.

3) 본 앤고리즘에서의 축소된 계수 행렬은 대각요소가 크기되어 수렴성이 보장되었으며, Hessian 행렬을 간단하게 구성할 수 있어 대규모 계통에도 적용할 수 있게 하였다.

참 고 문 헌

- (1) 송길영: 전력계통공학, 동명사, 1977
- (2) R.Nadira:Optimal reactive power flows, Scientific System report, 1983
- (3) L.Roy, N.D.Rao:A new algorithm for real-time optimal dispatch of active and reactive power generation retaining nonlinearity, IEEE, 1983
- (4) M. Bazzara:Nonlinear programming, John Wiley & Sons, 1979
- (5) A.M.Sasson:Optimal load flow solution using the Hessian matrix, IEEE, 1972
- (6) H.W.Dommel, W.Tinney:Optimal power flow solution, IEEE, 1968